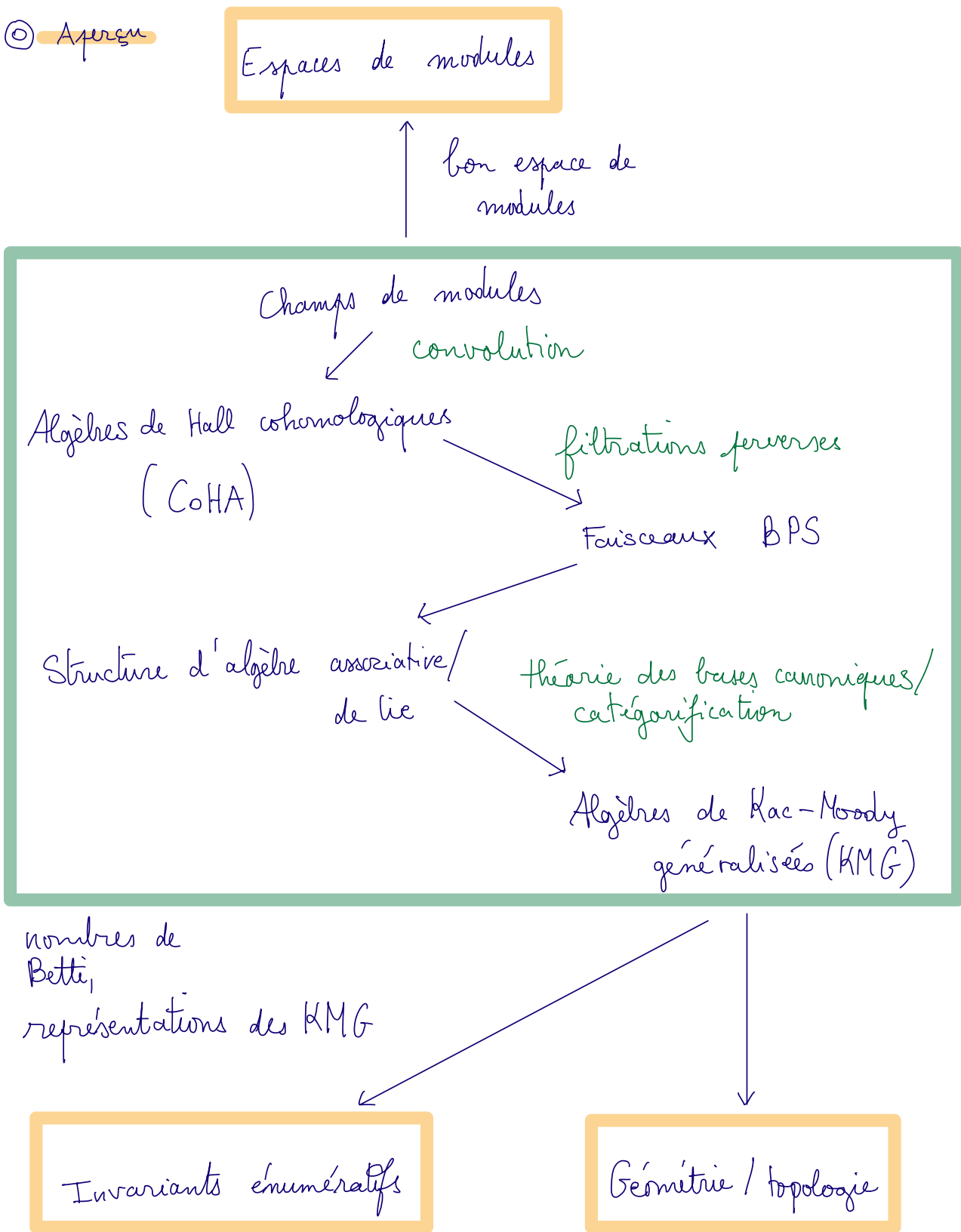


Le faisceau BPS pour les espaces de modules

repose en partie sur des travaux en commun avec Davison et Ichlegel Mejia.

Séminaire Groupes, Algèbre, Géométrie,
Paris, 22 Mars 2024

① Aperçu



Espaces de modules de faisceaux/fibrés sur
 courbes C
 surfaces S, T^*C
 Calabi-Yau de dimension 3 $X, \text{Tot}_c(\omega_c \oplus \mathcal{L}_c)$



Champs de modules



$$\text{CoHA} := H_*^{\text{BM}}(\mathcal{M}) \supseteq \text{BPS} = P^{\leq 0} H_*^{\text{BM}}(\mathcal{M})$$

KMG : { Matrice de Cartan
 Générateurs de Chevalley }

Invariants énumératifs

Nombres de Betti

invariants de Donaldson-Thomas, ...

+ conjectures : intégralité,
 indépendance vis-à-vis de certains
 paramètres discrets
 Isomorphismes de Hodge non-abéliens
 pour les champs

① Espaces de modules :

Contexte général :

\mathcal{C} catégorie abélienne

$\mathcal{M}_{\mathcal{E}}$ champ algébrique des objets dans \mathcal{C}

$$\begin{matrix} \mathcal{M}_{\mathcal{E}} \\ \downarrow JH \end{matrix}$$

$M_{\mathcal{E}}$ le bon espace de modules

Souhait : étudier $H^*(M_{\mathcal{E}})$ via $\mathcal{M}_{\mathcal{E}}$.

Un exemple venant de la géométrie

S surface projective lisse / \mathbb{C}

H polarisation de S (fibré en droites)

$v \in H^*(S, \mathbb{Z})$ primitif : $\mathbb{Q}v \cap H^*(S, \mathbb{Z}) = \mathbb{Z}v$

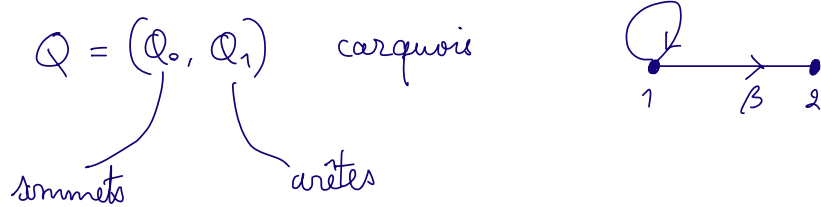
$\mathcal{E} = \text{Coh}_{\mathbb{Z}v}^{H-\text{ss}}(S)$ faisceaux cohérents semi-stables sur S avec vecteur de Mukai dans $\mathbb{Z}v$.

Schémas Quot : $\mathcal{M}_{\mathcal{E}}$ champ quotient

$$\begin{matrix} \mathcal{M}_{\mathcal{E}} \\ \downarrow JH \end{matrix}$$

$M_{\mathcal{E}}$ théorie géométrique des invariants.

Un exemple venant de la théorie des représentations



s.t. $Q_1 \rightrightarrows Q_0$ source et but

représentations de carquois (sur \mathbb{C}):

V_i \mathbb{C} -espace vectoriel pour $i \in Q_0$

$V_{s(\alpha)} \xrightarrow{\alpha} V_{t(\alpha)}$ linéaire pour $\alpha \in Q_1$.

Vector dimension: $d = (d_i := \dim V_i)_{i \in Q_0} \in \mathbb{N}^{Q_0}$

Toutes les représentations de Q de vecteur dimension $d \in \mathbb{N}^{Q_0}$ sont encodées par

$$X_{\alpha, d} := \prod_{\alpha \in Q_1} \text{Hom}(\mathbb{C}^{d_{s(\alpha)}}, \mathbb{C}^{d_{t(\alpha)}})$$

$$\bigcup GL_d := \prod_{i \in Q_0} GL_{d_i}$$

$$\left\{ \begin{array}{l} \text{représentations de } Q \text{ de dimension } d \\ \text{vecteur dimension } d \end{array} \right\}_{/\text{iso}} \xleftrightarrow{1:1} \text{orbites de } GL_d \text{ dans } X_{Q,d}$$

Champ de représentations de Q de vecteur dimension d :

$$\mathcal{M}_{Q,d} := [X_{Q,d} / GL_d]$$

$$\downarrow JH$$

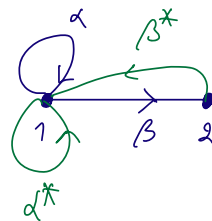
$$\mathcal{M}_{Q,d} := X_{Q,d} // GL_d := \text{Spec} \left(\mathbb{C}[X_{Q,d}]^{GL_d} \right) \text{ GIT}$$

L'exemple

$$Q \rightsquigarrow \bar{Q} = (Q_0, Q_1 \cup Q_1^*)$$

carquois
double

α α^* dans la
dans la direction opposée.



$$\mathcal{E} = \text{catégorie des représentations } Q \text{ telles que } \sum_{\alpha \in Q_1} [\alpha, \alpha^*] = 0$$

condition préprojective.

= condition symplectique.

\mathcal{M}_E = champ algébrique $\subset_{\text{fermé}} \mathcal{M}_{\overline{\mathbb{Q}}}$
 ↓ JH
 \mathcal{M}_E = bon espace de modules $\subset_{\text{fermé}} \mathcal{M}_{\overline{\mathbb{Q}}}$.

Un exemple venu de la topologie

E = systèmes locaux sur une surface de Riemann.

② Catégorie dérivée constructible

\mathcal{M} schéma séparé de type fini / \mathbb{C} .

On utilise la même notation pour \mathcal{M} et $\mathcal{H}(\mathcal{C})^{\text{an}}$

[seule la topologie nous importe]

$\mathcal{D}_c^+(\mathcal{M}) =$ catégorie dérivée bornée inférieurement
des faisceaux constructibles de R-ét sur \mathcal{M}

$$\left\{ \begin{array}{l} \dots \circ \rightarrow \mathcal{F}^m \rightarrow \mathcal{F}^{m-1} \xrightarrow{d} \mathcal{F}^m \xrightarrow{d} \mathcal{F}^{m-1} \rightarrow \dots \\ d \circ d = 0 \\ H^i(\mathcal{F}^\bullet) \text{ est un faisceau constructible sur } \mathcal{M}. \end{array} \right.$$

t-structure perverse

t-structures \rightsquigarrow trouver des catégories abéliennes à l'intérieur de catégories triangulées
 \rightsquigarrow permet de désigner les objets.

Beilinson - Bernstein - Deligne - Gabber : t-structure perverse sur $\mathcal{D}_c^+(\mathcal{M})$.

t-structure : $\overset{P}{\mathcal{D}}_c^{\leq 0}, \overset{P}{\mathcal{D}}_c^{\geq 0}$ sous-catégories pleines

$$\mathcal{F}^\bullet \in {}^P\mathcal{D}_c^{\leq 0}(\mathcal{M}) \stackrel{\text{def}}{\iff} \dim \left\{ x \in \mathcal{M} \mid H^i(i_x^*\mathcal{F}) \neq 0 \right\} \leq -i$$

$$\mathcal{F}^\bullet \in {}^P\mathcal{D}^{\geq 0}(\mathcal{M}) \iff \dim \left\{ x \in \mathcal{M} \mid H^i(i_x^!\mathcal{F}) \neq 0 \right\} \leq -i.$$

Faisceaux pervers : $\text{Perv}(\mathcal{M}) := \mathcal{D}_c^{\leq 0}(\mathcal{M}) \cap \mathcal{D}_c^{\geq 0}(\mathcal{M})$

$\text{Perv}(\mathcal{M})$ {

- cатегорie abélienne : noyaux, conoyaux, ...
- de longueur finie
- description explicite des objets simples
- [complexes d'intersection]

Structures additionnelles

\mathcal{M} monoïde dans la catégorie des schémas / \mathbb{C} ,
avec composantes connexes séparées, de type fini,
une infinité !

structure monoïdale : produit cartésien

$$\mathcal{M} \times \mathcal{M} \xrightarrow{\oplus} \mathcal{M} .$$

exemple : $\mathcal{M} = \mathbb{N}$.

Structure monoïdale sur $\mathcal{D}_c^t(\mathcal{M})$:

$$\mathcal{F} \boxplus \mathcal{G} := \oplus_{\star} (\mathcal{F} \boxtimes \mathcal{G}).$$

Si \oplus est un morphisme fini,

\oplus_{\star} est pervers t-exact

et donc \boxplus induit une structure monoïdale sur $\text{Perv}(\mathcal{M})$.

$$\mathcal{F}, \mathcal{G} \in \text{Perv}(\mathcal{M}) \Rightarrow \mathcal{F} \boxplus \mathcal{G} \in \text{Perv}(\mathcal{M}).$$

exemple fondamental : \mathcal{C} catégorie abélienne

$\mathcal{M}_{\mathcal{E}}$ bon espace de modules de $\mathcal{M}_{\mathcal{E}}$.

$$\mathcal{M}_{\mathcal{E}} \times \mathcal{M}_{\mathcal{E}} \xrightarrow{\oplus} \mathcal{M}_{\mathcal{E}} \quad \text{somme directe l'objets dans } \mathcal{C}$$

induit $\mathcal{M}_{\mathcal{E}} \times \mathcal{M}_{\mathcal{E}} \xrightarrow{\oplus} \mathcal{M}_{\mathcal{E}} \quad \text{somme directe d'objets semi-stables.}$

③ Le faisceau BPS \mathcal{E} catégorie abélienne.

$$\mathcal{M}_\mathcal{E} \xrightarrow{\text{JH}} \mathcal{M}_\mathcal{E}$$

champ bon espace de modules

But : A) construire $\mathcal{BPY}_{\text{Lie}}$ $\in \text{Perv}(\mathcal{M})$ satisfaisant :

① $\mathcal{BPY}_{\text{Lie}}$ est semi-simple

② $\mathcal{M}_a \subset \mathcal{M}_\mathcal{E}$. $\mathcal{D}\mathcal{E}(\mathcal{M}_a)^\oplus \subseteq \mathcal{BPY}_{\text{Lie}}$
composante connexe

si \mathcal{M}_a paramètre des objets simples de \mathcal{E} .

③ $\mathcal{BPY}_{\text{Lie}}$ est une algèbre de Lie dans la catégorie monoidale symétrique $(\text{Perv}(\mathcal{M}_\mathcal{E}), \boxtimes)$.

④ $\text{Sym} \left(\mathcal{BPY}_{\text{Lie}} \otimes H^*(BC^*) \right) \cong JH_* \mathbb{D}\mathcal{Q}_{\mathcal{M}}^{\text{vir}} \in \mathcal{D}_c^+(\mathcal{M})$
reconstruction de $H_{\mathcal{X}}^{BM}(\mathcal{M})$.

B) Identifier la structure d'algèbre de Lie de $\mathcal{BPY}_{\text{Lie}}$ et $H^*(\mathcal{BPY}_{\text{Lie}})$

(A) filtrations perverses.

* On va construire $\mathcal{BPY}_{\text{Lie}}$ à partir de

$$\mathcal{BPY}_{\text{Alg}} := \mathcal{PH}^{\circ}(A) \in \text{Perf}(M)$$

* La structure d'algèbre vient de la structure d'algèbre de Hall cohomologique sur A

(B) Utilisation du théorème de formalité pour les catégories Calabi-Yau de dimension 2

* Étude de la situation combinatoire venant des carquois.

(A) et (B) sont reliés :

Définition $\mathcal{BPY}_{\text{Alg}}$

Description : $\mathcal{BPY}_{\text{Alg}}$

Définition : $\mathcal{BPY}_{\text{Lie}}$

points ①, ②, ③ satisfait par définition

point ④ : conjecture d'intégralité cohomologique.

A Algèbre de Hall cohomologique

\mathcal{C} catégorie abélienne

$$\begin{array}{ccccc}
 & 0 \rightarrow M \rightarrow E \rightarrow N \rightarrow 0 & & & \\
 & \swarrow & \downarrow q & \uparrow p & \searrow \\
 (N, M) & & \text{Exacte} & & E \\
 \downarrow & & & & \downarrow \\
 \mathcal{M}_E \times \mathcal{M}_E & & & & \mathcal{M}_E \\
 \downarrow JH & & & & \downarrow JH \\
 \mathcal{M}_E \times \mathcal{M}_E & \xrightarrow{\oplus} & & & \mathcal{M}_E
 \end{array}$$

Théorie des déformations : chaque composante connexe $\mathcal{M}_{E,a}$ de \mathcal{M}_E a une dimension virtuelle vir_a .

$p_* q^*$ induit une structure d'algèbre associative sur

$$A := JH_* DQ_m^{vir} \in (\mathcal{D}_c^+(\mathcal{M}_E), \square)$$

c'est-à-dire un morphisme

$$m: A \square A \rightarrow A$$

Algèbre BPS associative :

$$BPS_{Alg} := P_{\mathcal{H}}(A) \in (\text{Perv}(\mathcal{M}_E), \square)$$

structure d'algèbre associative induite

Démonstration:

$$A \in {}^P\mathcal{D}^{\geq 0}(\mathcal{M}) , \text{ donc } {}^P\mathcal{H}^0(A) = {}^P_{\mathcal{T}_{\leq 0}} A$$

\oplus est un morphisme fini, donc \oplus_* est pervers t-exact,

$$\text{donc } {}^P_{\mathcal{T}_{\leq 0}}(A \boxtimes A) \cong \oplus_* {}^P_{\mathcal{T}_{\leq 0}}(A \otimes A) \stackrel{\cong}{=} {}^P_{\mathcal{T}_{\leq 0}} A \boxtimes {}^P_{\mathcal{T}_{\leq 0}} A$$

$$\text{d'où } {}^P_{\mathcal{T}_{\leq 0}}(m) : {}^P\mathcal{H}^0(A) \boxtimes {}^P\mathcal{H}^0(A) \rightarrow {}^P\mathcal{H}^0(A)$$

③ Théorème (Davidson-H.-Schlegel Mejia)
2023

$$\mathcal{BPS}_{\text{Alg}} \cong U(\mathcal{N}^+) \quad \begin{array}{l} \text{algèbre} \\ \text{envelopante} \end{array}$$

où $\mathcal{N}^+ \in (\text{Perw}(\mathcal{M}), \sqsupseteq)$ est une algèbre de Lie définie par générateurs et relations :

générateurs: $\mathcal{GE}(M_\alpha)$

pour $M_\alpha \subset \mathcal{M}$ composante connexe paramétrant des objets simples de \mathcal{C}

$$\bigoplus_*^\ell \mathcal{GE}(M_\alpha)$$

$$\begin{aligned} \oplus_*^\ell: M_\alpha &\rightarrow M_{\ell\alpha} \\ x &\mapsto x^{\oplus \ell} \end{aligned}$$

pour M_α comme ci-dessus,
où en plus, M_α est de dimension virtuelle 0.

Relations: relations de Serre déterminées par la matrice de Cartan infinie

$$A := \left(\frac{\text{vir}(a+b) - \text{vir}(a) - \text{vir}(b)}{2} \right)_{a, b \in \pi_0(\mathcal{M})}$$

\mathcal{N}^+ est une version faisceautique d'une algèbre de Kac-Moody généralisée (au sens de Borcherds)

① **Definition**: $\mathcal{BP}_{\text{Lie}}^+ := \mathcal{N}^+ \in (\text{Perf}(M), \square)$ algèbre de Lie.

④ **Théorème** (Daurison - H. - Schlegel Mejia) Intégralité cohomologique
2023

$$\text{Sym} \left(\mathcal{BP}_{\text{Lie}}^+ \otimes H^*(BC^*) \right) \cong A. \quad \begin{matrix} \text{isomorphisme} \\ \text{PBW} \end{matrix}$$

④ Exemples

a) Géométrie

C courbe projective lisse, $\theta \in \mathbb{Q}$

\mathcal{E} = catégorie des fibrés de Higgs semi-stables de pente θ fixée sur C

fibrés de Higgs: (\mathcal{F}, ξ)

\mathcal{F} faisceau cohérent sur C

$\xi: \mathcal{F} \rightarrow \mathcal{F} \otimes \mathcal{L}_C^1$ \mathcal{L}_C -linéaire

pente: $\mu(\mathcal{F}) = \frac{\deg \mathcal{F}}{\text{rk } \mathcal{F}}$

semi-stabilité: $\forall y \in \mathcal{F}$ tel que $\xi(y) \in y \otimes \mathcal{L}_C^1$,

$$\mu(y) \leq \mu(\mathcal{F})$$

M_θ = champ

$$\downarrow JH$$

M_θ = espace de modules

$$BPS_{\theta, \text{Alg}} := BPS_{\mathcal{E}, \text{Alg}}$$

$$BPS_{\theta, \text{Lie}} := BPS_{\mathcal{E}, \text{Lie}}$$

Corollaire: $\mathcal{BP}_{\theta, \text{Alg}}$ est l'algèbre libre engendrée par
 genre de $C \geq 2$ $\mathcal{J}\mathcal{E}(\mathcal{M}_{d/r})$, $d \in \mathbb{Z}$, $r > 0$
 tels que $d/r = \theta$

$\mathcal{BP}_{\theta, \text{Alg Lie}}$ est l'algèbre libre engendrée par
 $\mathcal{J}\mathcal{E}(\mathcal{M}_{d/r})$, $d \in \mathbb{Z}$, $r > 0$
 tels que $d/r = \theta$ (de Lie)

$$\begin{aligned} \text{Si } (r, d) = 1, \quad \mathcal{BP}_{r, d, \text{Lie}} &= \mathcal{J}\mathcal{E}(\mathcal{M}_{r, d}) \\ &= \mathcal{Q}_{\mathcal{M}_{r, d}} [\dim \mathcal{M}_{r, d}] \end{aligned}$$

Théorème (Kinjo - Koseki)

$$\begin{array}{c} \mathcal{M}_{r, d} \\ \downarrow h \\ \mathcal{B}_r = \prod_{i=0}^{r-1} H^*(C, \mathbb{Q}_C^{\otimes i}) \cong \mathbb{A}^N \text{ espace affine} \end{array}$$

$h_* \mathcal{BP}_{r, d, \text{Lie}} \in \mathcal{D}_C^+(\mathcal{B}_r)$ ne dépend pas de $d \in \mathbb{Z}$

Consequence: Pour étudier les supports de la fibrations de Hitchin : décomposition de $h_* \mathcal{Q}_{\mathcal{M}_{r,d}}$ si $(r,d)=1$, il est efficace de travailler avec $B\mathcal{P}\mathcal{Y}_{r,0}$.

Corollaire (DHS, 2023)

$h_* \mathcal{GE}(\mathcal{M}_{r,d}) \in \mathcal{D}_c^+(\mathbb{B}^r)$ ne dépend de (r,d) que via $\text{pgcd}(r,d)$.

Corollaire (Mauri-Migliorini-Pagaria, DHS)

Raffinement des théorèmes de support pour la fibration de Hitchin

$h_* \mathcal{GE}(\mathcal{M}_{r,0}) \Big|_{B_r^{\text{red}}}$ a un support plein

b) Géométrie - topologie

$$\mathcal{E} = \text{Higgs}_0^{\text{sst}}(C) \quad \text{pente } \theta = 0$$

$$\mathcal{E}' = \text{Rep } \pi_1(C, x) \quad \text{systèmes locaux sur } C$$

Théorie de Hodge non-abélienne

$$\forall r \in \mathbb{N}, \quad \begin{array}{ccc} \mathcal{M}_{r,0}^{\text{Higgs}} & \xrightarrow{\Delta} & \mathcal{M}_{r,\mathcal{E}'} \\ \text{JH} \downarrow & & \downarrow \\ \mathcal{M}_{r,0}^{\text{Higgs}} & \xrightarrow[\text{homeomorphisme pour } C]{} & \mathcal{M}_{r,\mathcal{E}'} = \text{variété de caractère} \\ \parallel & & \parallel \\ \mathcal{M}_r^{\text{Dol}} & & \mathcal{M}_r^{\text{Betti}} \end{array}$$

$$\mathcal{M}^{\text{Dol}} = \bigsqcup_{r \in \mathbb{N}} \mathcal{M}_r^{\text{Dol}}$$

$$\mathcal{M}^{\text{Betti}} = \bigsqcup_{r \in \mathbb{N}} \mathcal{M}_r^{\text{Betti}}$$

$$\begin{array}{c} \mathcal{M}^{\text{Dol}} \times \mathcal{M}^{\text{Dol}} \xrightarrow{\oplus} \mathcal{M}^{\text{Dol}} \\ \text{homéo } S \mapsto S \text{ / homéo} \\ \mathcal{M}^{\text{Betti}} \times \mathcal{M}^{\text{Betti}} \xrightarrow[\oplus]{\cong} \mathcal{M}^{\text{Betti}} \end{array}$$

Théorème (DHS)
2022

Isomorphisme de Hodge non-abélien pour les champs

$$\Psi_* \text{JH}_* \mathbb{D}\mathcal{Q}_{\mathcal{M}^{\text{Higgs}}}^{\text{vir}} \cong \text{JH}_* \mathbb{D}\mathcal{Q}_{\mathcal{M}_{\mathcal{E}'}}^{\text{vir}}, \\ \in \mathcal{D}_c^+(\mathcal{M}^{\text{Betti}})$$

En considérant les sections globales, on trouve

$$H_*^{\text{BM}}(\mathcal{M}^{\text{Higgs}}) \cong H_*^{\text{BT}}(\mathcal{M}^{\text{Betti}})$$

Théorème (H)₂₀₂₃: C'est un isomorphisme d'algèbres
 (pour les structures respectives d'algèbres de Hall
 cohomologiques)

Démonstration:

On ajoute le champ et espace de de Rham :

$$\mathcal{M}^{\text{Dol}} \cong \underbrace{\mathcal{M}^{\text{dR}}}_{\cong} \cong \mathcal{M}^{\text{Betti}}$$

se relève en une équivalence de champs
 analytiques $\mathcal{M}^{\text{dR}} \cong \mathcal{M}^{\text{Betti}}$ (Porta, Simpson)

$$\Rightarrow H^*(\mathcal{A}^{\text{dR}}) \cong H^*(\mathcal{A}^{\text{Betti}})$$

$\mathcal{M}^{\text{Dol}} \cong \mathcal{M}^{\text{dR}}$ sont reliés par l'espace de \mathbb{I} -connexions

$$\begin{array}{ccc} \mathcal{M}^{\text{dR}} & \xrightarrow{\quad} & \mathcal{M}^{\text{Higgs}} \\ \downarrow & & \downarrow \\ 1 & \in A^* & \ni 0 \end{array}$$

④ Théorie des représentations

$\mathcal{Q} = (\mathcal{Q}_0, \mathcal{Q}_1)$ carquois

$\bar{\mathcal{Q}} = (\mathcal{Q}_0, \mathcal{Q}_1 \cup \mathcal{Q}_1^*)$ carquois double.

$$\mathbb{C}\bar{\mathcal{Q}} \ni \rho = \sum_{\alpha \in \mathcal{Q}_1} [\alpha, \alpha^*] \quad \Pi_{\mathcal{Q}} = \frac{\mathbb{C}\bar{\mathcal{Q}}}{\langle\langle \rho \rangle\rangle}$$

$$\begin{array}{ccc} \mathcal{M}_{\Pi_{\mathcal{Q}}} & & \text{morphisme de Jordan-Hölder} \\ \downarrow JH & & \text{ou de semisimplification.} \\ \mathcal{M}_{\Pi_{\mathcal{Q}}} & & \end{array}$$

Théorème (DHS)

$$H^*(B\mathcal{P}_{\mathcal{Q}, \text{Alg}}) \cong \mathcal{V}(\mathcal{N}^+) \quad \text{où}$$

\mathcal{N}^+ est la partie positive d'une alg. de Kac-Mosley généralisée \mathfrak{g} .

Théorème (DHS) Décomposition de

$$H^*(\mathcal{M}(f, d)) \xleftarrow{\text{variété de Nakajima}} \text{vecteur l'encadrement } f \in \mathbb{N}^{\mathcal{Q}_0}$$

en tant que représentation de \mathfrak{g} .

Anticipation: Géométrie énumérative des * surfaces K3, Abéliennes
* composantes de Kuznetsov
de variétés de dimension 3.
* systématisation de l'étude
des espaces de modules via la théorie des
représentations.